Strukturprinzipien bei Polymeren

Molekulare Strukturen

Globale und lokale molekulare Strukturen

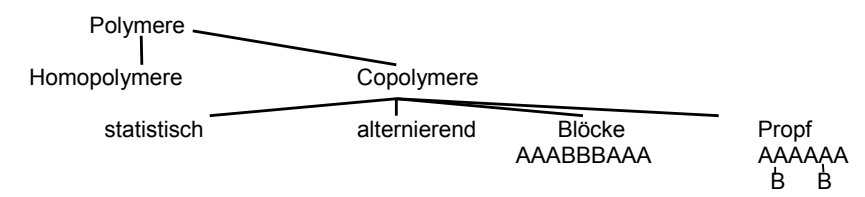
Konstitution

Aufbauprinzip des Moleküls aus den Atomen:

Typ und Anordnung der Kettenatome Art der Endgruppen und Substituenten Art und Länge der Verzweigungen Art und Dichte der Vernetzungen

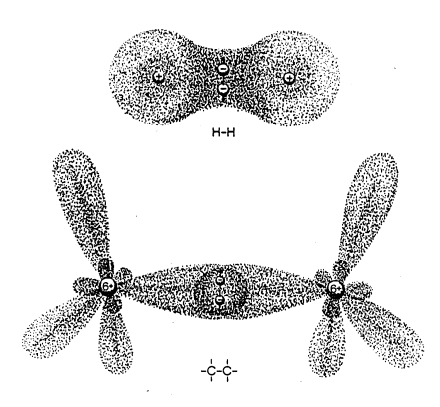
Molmasse

Art und Anordnung der Grundbausteine und die dadurch bedingte Molekülstruktur



Hauptvalenzbindungen in Polymeren

fast ausschließlich homöopolare Bindung (Atombindung, kovalente Bindung)



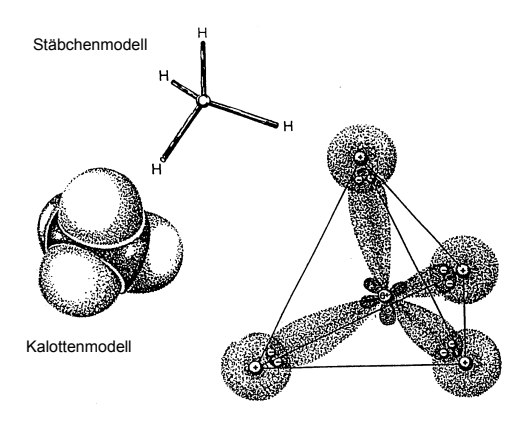
Die gemeinsame Elektronenwolke eines bindenden Elektronenpaars kann verschiedene Gestalten und damit verschiedene Eigenschaften haben: Bei der Bindung zwischen zwei Wasserstoffatomen z. B. verschmelzen zwei Kugelschalen zu einer Art Hantel; bei der Bindung zwischen zwei Kohlenstoffatomen hingegen überlappen sich zwei der keulenförmigen Elektronenwolken der Einzelatome zu einem um die Verbindungssache rotationssymmetrischen Gebilde.

(Quelle: Kunststoff-Werkstoffe im Gespräch – Aufbau und Eigenschaften, BASF (Hrsg.))

1

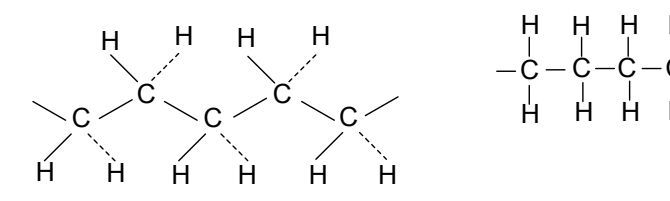
Molekülmodelle

Stäbchenmodell Kalottenmodell Orbitalmodell (Elektronenwolkenstruktur)



verfeinertes Modell der räumlichen Elektronenwolkenstruktur

Die Struktur von Methan (CH_4), die durch die räumliche Lage der vier Elektronenpaarwolken bestimmt ist, läßt sich auf verschiedene Art und Weise darstellen. Das Stäbchenmodell gibt die Atomkernabstände richtig wieder, das Kalottenmodell die Raumerfüllung des Moleküls und das verfeinerte Modell der räumlichen Elektronenwolkenstruktur die Feinheit der vier Elektronenpaarbindungen. (Quelle: Kunststoff-Werkstoffe im Gespräch – Aufbau und Eigenschaften, BASF (Hrsg.))



In die Ebene projizierte Molekülkette des Polyethylens (links), übliche vereinfachte Schreibweise (rechts)

Valenzwinkel C-C-Einfachbindung ≈ 109 °

Polymere mit Heteroatomen: N, O, S

Ringbausteine: z. B. Cellulose

Bindungsenergie $C-C \approx 350 \text{ kJ/mol}$

theoretische Festigkeit

1,4 ... 1,9 ·10⁴ N/mm²

effektive Festigkeit

10 ... 100 N/mm²

Festigkeit der Polymere nicht durch Hauptvalenzbindungen bestimmt, sondern durch Verschlaufungen und Nebenvalenzkräfte

Verzweigungen:

Hauptkette längste der vereinigten Ketten

Kurzkettenverzweigung Anzahl der Strukturelemente in der

Hauptkette >> 1, in der Verzweigung nur wenig

größer oder gleich 1

Langkettenverzweigung Anzahl der Strukturelemente in Hauptkette

und in Verzweigungen >> 1

Verzweigungsgrad Verhältnis der Menge verzweigter Grund-

bausteine zu den insgesamt vorhandenen

Grundbausteinen

Leiterpolymere regelmäßig querverbundene lineare

Hauptketten

Beispiel: Polyethylen

bei Polymerisation in statistischer Verteilung Verzweigungen (Baufehler)

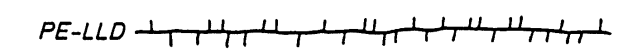
→ unterschiedliche Eigenschaften von PE-LD, PE-HD, PE-LLD

Molekülaufbau der verschiedenen PE-Typen (nach G. Menges)





Langkettenverzweigungen



lineare Moleküle, ca. 10 bis 35 kurze Seitenketten pro 1000 C-Atome

Einfluß von Verzweigungen auf die Eigenschaften von Polyethylen

Verzweigungsart	Anzahl	Auswirkung	
kurze Verzweigung (2 bis 6 C-Atome)	steigend	Kristallisation	\
		Dichte	\downarrow
		Steifigkeit	\downarrow
lange Verzweigung (>10 C-Atome)	steigend	Molmasseverteilung	\
		Fließfähigkeit	\uparrow
		Glanz von Folien	\downarrow
		Einschnürung von Fobeim Verstrecken	lien ↓

(nach G. Menges)

Einfluß der Seitenketten-Art und -Anzahl bei Polyethylen niedriger Dichte (Hochdruckverfahren, PE-LD) auf dessen Eignung für bestimmte Verwendungszwecke

Verwendungszweck	Anzahl		
	kurzer Seitenketten	langer Seitenketten	
transparente Folien	mittel	wenig	
zähe Folien	wenig	viel	
leichtfließendes	viel	viel	
Spritzmaterial			
steife Spritzgußteile	wenig	wenig	
Blasformteile	mittel	viel	
Extrusionsbeschichten	mittel	viel	

(nach G. Menges)

Vernetzte Polymere: praktisch unendlich groß

Vernetzungsgrad = Verhältnis der Menge vernetzter Grundbausteine zu den insgesamt vorhandenen Grundbausteinen

~ Zahl der Netzknoten

Vernetzungsgrad beeinflußt mechanische Eigenschaften:

Schubmodul im kautschukelastischen Bereich

Zugfestigkeit

mit zunehmendem Vernetzungsgrad steigen

Steifigkeit

Sprödigkeit

Chemikalienbeständigkeit

Bestimmung des Vernetzungsgrades

Vernetzte Polymere quellen in Lösungsmittel (LM) bis zu bestimmtem Gleichgewichtswert, der Funktion des Vernetzungsgrades ist.

Dieser kann über Quelldehnung ermittelt werden.

Dehnverhalten von Netzwerken





$$\sigma = \frac{F}{A_0} = \frac{d}{d\lambda} \frac{W_{el}}{V_0} \quad W_{el} = \frac{N_c kT}{2} [\lambda_1^2 + \lambda_2^2 + \lambda_3^2 - 3]$$

$$L$$

$$\lambda = \frac{L}{L_0} = 1 + \frac{\Delta L}{L_0} = 1 + \frac{L - L_0}{L_0} = 1 + \varepsilon$$

$$\lambda = \frac{L}{L_0} = 1 + \frac{\Delta L}{L_0} = 1 + \frac{L - L_0}{L_0} = 1 + \varepsilon$$

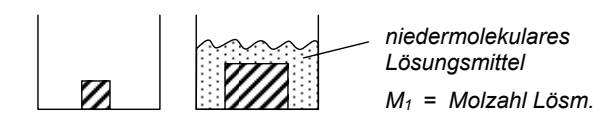
Neo-Hooke:

$$\sigma = G(\lambda - \lambda^{-2}); \quad \lambda_x \lambda_y \lambda_z = \frac{v}{v_0} = 1$$

$$G = \frac{E}{3} = \frac{\rho_p \cdot RT}{M_C} = \frac{\rho_p \cdot N_A}{M_C} kT = \nu_c kT$$

$$\left\{\nu_{c} = \frac{\textit{Ketten d. NW}}{m^{3}} \left[= \frac{\textit{kg}}{m^{3}} \frac{\textit{Ketten}}{\textit{mol}} \frac{1}{\textit{kg/mol}} \right] \right\}$$

Quellung von Netzwerken



Quellgleichgewicht: freie Enthalpieänderung hinsichtlich weiterer Lösungsmittelaufnahme = 0

(1)
$$\Delta G = \Delta G_m + \Delta G_{el} = 0$$

 $\Delta G_m = \frac{\partial G_m}{\partial n_1} ; \Delta G_{el} = \frac{\partial W_{el}}{\partial n_1}$

 ΔG_m : freie Lösungsenthalpie der unvernetzten Polymere Mischungsenthalpie der unvernetzten Polymere

 ΔG_{el} : Änderung der freien elastischen Enthalpie durch elastische Expansion

des Netzwerkes bei Absorption von Lösungsmittel



Gittermodell → Platzierungsmöglichkeiten Flory-Huggins-Theorie

(2)
$$\Delta G_m = RT \{ \ln(1 - v_2) + v_2 + \chi v_2^2 \}$$

$$\downarrow \qquad \qquad \downarrow \qquad \qquad \parallel \text{letzte Verdünnungswärme}^{\#}$$

(3)
$$v_2 = \frac{V_{pol}}{V_{pol} + V_{L\ddot{o}m}} = \frac{V_{pol}}{M_1 \overline{v_1} + V_{pol}}$$

Molzahl Löm. \longrightarrow molares Volumen

$$v_2 + v_1 = 1$$

 γ ... Flory-Huggins-Wechselwirkungsparameter > 0 (beschreibt energetische Wechselwirkung; Abweichungen vom idealathermischen Verhalten)

$$\chi = \alpha + \frac{\beta}{T}$$

$$\vdash \qquad \vdash \quad \text{Enthalpie-Anteil}$$

$$\vdash \quad \quad \text{Entropie-Anteil}$$

$$\chi = \chi_{segm/L\"{o}m} - \frac{1}{2} (\chi_{seg/seg} + \chi_{L\"{o}m/L\"{o}m})$$

 $\chi \ll \frac{1}{2}$... athermisches Lösungsmittel / gutes Lösungsmittel

 $\chi = \frac{1}{2} \dots \theta$ -Lösungsmittel

 $\chi > \frac{1}{2}$... schlechtes Lösungsmittel

Isobare Zustandsänderung $\delta G' = \delta F$ ("konst. Druck"-Prozess)

$$\Delta G_{el} = \frac{\partial F_{el}}{\partial n_1} = \frac{\partial W_{el}}{\partial v_2} \cdot \frac{\partial v_2}{\partial n_1}$$

$$\Delta F_{el} = W_{el} = \frac{N_C}{2} kT \left(3 \cdot v_2^{-\frac{2}{3}} - 3 \right)$$

Quellung:
$$\lambda_1 = \lambda_2 = \lambda_3 = v_2^{-\frac{1}{3}}$$

$$\frac{\partial W_{el}}{\partial v_2} = -N_C k T v_2^{-\frac{5}{3}}$$

$$\frac{\partial v_2}{\partial n_1} = \frac{\partial}{\partial n_1} \frac{V_p}{M_1 \overline{v_1} + V_p} = -\frac{V_p}{V^2} \overline{v_1} = -v_2^2 \frac{\overline{v_1}}{Vp}$$

$$\hookrightarrow \Delta G_{el} = \frac{N_C}{V_n} k T \overline{v_1} v_2^{\frac{1}{3}} = v_C k T \overline{v_1} v_2^{\frac{1}{3}}$$

(4)
$$\Delta G_{el} = \frac{\rho_p RT}{M_C} \overline{v_1} v_2^{\frac{1}{3}}$$

⊆ Quellgleichgewicht:

$$\ln(1 - v_{2,eq}) + v_{2,eq} + \chi v_{2,eq}^{2} = -\frac{\rho_p \overline{v_1}}{M_C} v_{2,eq}^{\frac{1}{3}}$$

Flory-Rehner-Gleichung

Konfiguration räumliche Anordnung der Atome und Atomgruppen

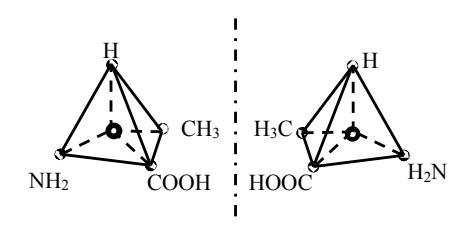
im Molekül bei gleicher Konstitution

(z. B . Taktizität)

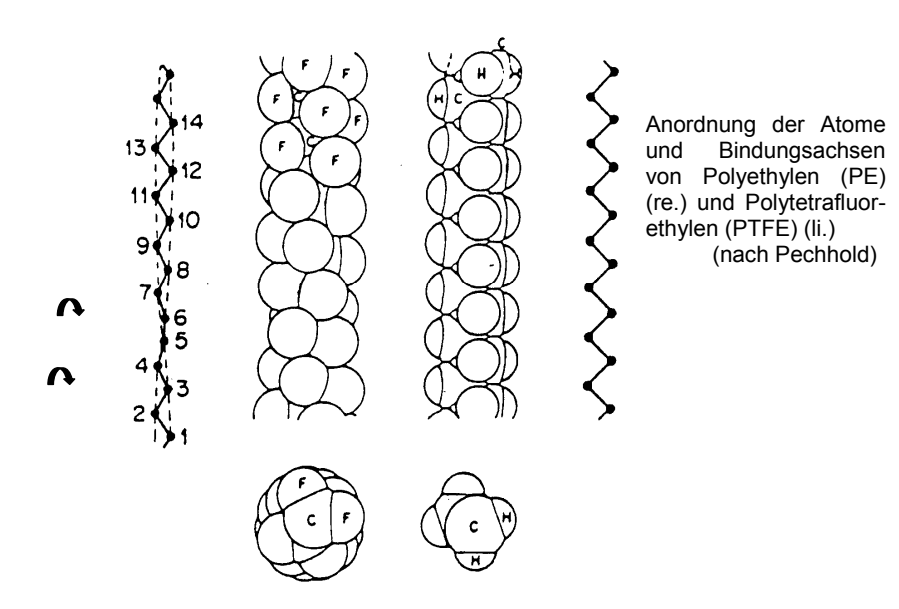
bildliche Darstellung durch Strukturformel (keine Aussage über Konformation)

zum Verständnis: Stereoasymmetrie tetraedrischer C-Atome sp³-Kohlenstoffatome der Grundbausteine eines Makromoleküls besitzen jeweils 4 Substituenten, die in Form eines Tetraeders um das jeweilige C-Atom angeordnet sind. Bei verschiedenen Substituenten können sich zwei verschiedene räumliche Anordnungen des Tetraeders ausbilden, die spiegelbildlich sind

Stereoisomerie des Alanins:



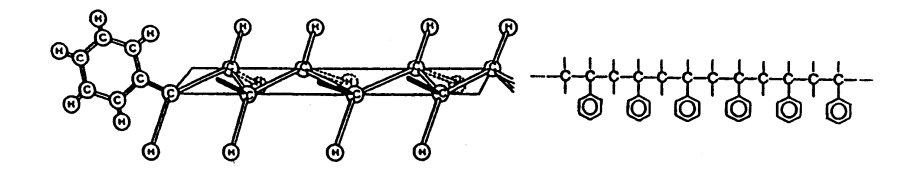
Makromolekül enthält i.A. viele asymmetrische C-Atome.



Taktizität

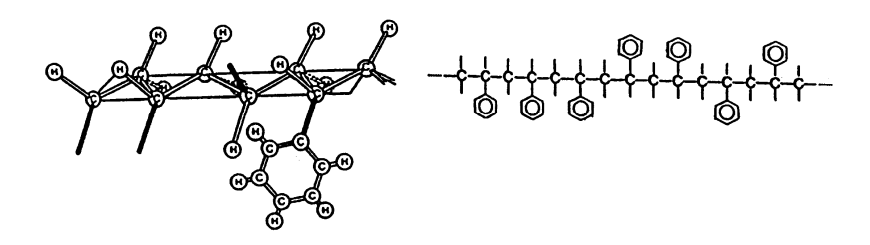
isotaktisch: Substituenten geordnet auf gleicher Seite syndiotaktisch: Substiuenten geordnet jeweils auf anderer Seite ataktisch: Substiuenten regellos verteilt entlang der Kette.

Isotaktische Kette



Syndiotaktische Kette

Ataktische Kette



9

CIS-TRANS-Isomerie

Stereoisomerie durch die verschiedenen Anordnungsmöglichkeiten der Substituenten an einer C-Doppelbindung

(1) Isopren (Monomer)
$$CH_2 = C - CH = CH_2$$

→ 4 Konfigurationen des Polyisoprens

trans-1,4

Ermittlung der Struktur über IR und NMR-Spektroskopie

cis-1,4

Gravierender Einfluss auf die Werkstoffeigenschaften: cis-1,4-Polyisopren: Naturkautschuk trans-1,4-Polyisopren: Guttapercha

Naturkautschuk: 100% cis-Anteil; M_w ~ 1...1,25*10⁶g/mol

 $T_g \sim -75^{\circ}C$ (DSC)

Dehnungsinduzierte Kristallisation (u.a. auch durch

Fettsäuren)

→ gute Festigkeitseigenschaften (tear strength)
 hohe Lebensdauer für Laufflächen von LKW-Reifen
 → exzellenter Risswachstumswiderstand (De Mattia)

Synthet. Polyisopren: M_w ~ 750*10³...1,25*10⁶
Guttapercha hoher trans-Anteil hart bei RT

~80°C; Kristallinität schmilzt

(2) Butadien

→ 3 Konfigurationen des Polybutadien:

$$CH_2$$
 $CH=CH$
 CH_2
 $CH=CH$

trans-1,4

cis-1,4

substitutionelle Isomere:

Polybutadien mit ~98% cis; T_g~-102°C

sog. Neodym, Ziegler-Natta Katalysatoren für Co, Ni, Ti

Mikrostruktureinfluss auf T_g und T_m

	$T_g(^{\circ}C)$	T _m (°C)
Cis	-106	2
Trans	-107	97/125
Syndiotaktisch 1,2	-28	156
Isotaktisch 1.2	-15	126

Konformation räumliche Gestalt, die bei gleicher Konfiguration durch Umklappen oder Drehen um die Bindungsachse erreicht werden kann (reversible Vorgänge, geringe Energieunterschiede)

Konformation kann nur geändert werden, wenn Bindungen geöffnet und andere anschließend neu geschlossen werden

Makromoleküle mit gleicher <u>Konstitution</u> können sich in Bezug auf ihre <u>Konformation</u> unterscheiden (= makromolekulare Stereoisomerie, Konfigurationsisomerie)

Konformation gibt die genaue räumliche Anordnung aller Atome und Atomgruppen wieder.

- ein Molekül bestimmter Konfiguration kann in unendlichen Konformationen existieren
- unterschiedliche Konfigurationen kann man nicht ohne Lösen der Hauptvalenzbindungen ineinander überführen.
- die freie Drehbarkeit um Einfachbindungen erlaubt eine Vielzahl von Konformationen; also räuml. Orientierungen der Bindungen zueinander
- die verschiedenen Konformationen sind unterschiedlich stabil (Tage, Stunden, 10⁻⁸...10⁻¹⁰s); Stabilität hängt von den Wechselwirkungen der Molekülteile ab, die nur bei bestimmten räumlichen Stellungen zu einem Energieminimum führen.









Extreme Rotations-Stellung der H-Atome des Ethans zueinander

(nach G. Henrici-Olivé)

Helix spiralförmige Anordnung der Moleküle

Kinken und Jogs: abweichende Konformationen größerer

Kettenabschnitte vom ideal-geordneten Zustand

Kinken parallele Auslenkungen

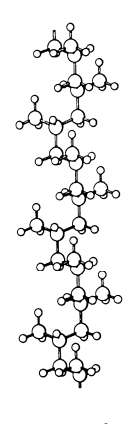
kleiner als Abstand der Zentren

benachbarter, durch van-der-Waals-Kräfte

gebundener Ketten

Jogs größere Auslenkungen als der Abstand der

Zentren der Ketten



Helix eines isotaktischen Polypropylens große Kreise = C-Atome, kleine Kreise = H-Atome

oben: senkrecht zur Kettenrichtung gesehen,

unten: in Kettenrichtung gesehen

(nach Geil)

Molmasse und Molmassenverteilungen

- Beispiel Polyethylen:

natürliche Paraffine: bis zu 40 C-Atome

n= Polymerisationsgrad → Anzahl der Grundbausteine im Makromolekül

Molmasse des Grundbausteins * n = Molmasse des Makromoleküls

Einfluß der Molmasse

bei Thermoplasten:

mit steigender Kettenlänge steigt Zahl der Verschlaufungen der Makromoleküle Beweglichkeit wird zunehmend behindert

Schmelzviskosität steigt, kristalliner Anteil sinkt, Dichte sinkt,

Festigkeit steigt

Bruchdehnung steigt (Abgleitstrecke der Moleküle erhöht)

bei vernetzten Polymeren im Falle der nachträglichen Vernetzung von Makromolekülen:

Steigerung der Molmasse der zu vernetzenden Makromoleküle

Erhöhung Erweichungstemperatur

Erhöhung Zähigkeit

Chemikalienbeständigkeit

Einfluß der steigenden Molmasse auf verschiedene Eigenschaften

steigende Molmasse bedingt:

höhere	höhere	höhere chemische	schlechteres
Festigkeit	Zähigkeit	Beständigkeit	Fließverhalten

Ursachen:

höhere	geringerer	höhere	mehr
Nebenvalenz-	Kristallisations-grad	Nevenvalenz-	Verschlaufungen,
kräfte, mehr	bei längeren	kräfte,	Folge: früher
Verschlaufungen	Molekülen, mehr	geringer Einfluß	Schmelzebruch
	Verschlaufungen	von Abbau, da	
		insgesamt hohes	
		Niveau	

Physikalische Eigenschaften von Polystyrol in Abhängigkeit von der Molmasse $\overline{\mathrm{M}}$

 \overline{M} < 10 000 spröde, Festigkeit mäßig

 $\overline{M} \approx 250~000$ hart, fest, glasartig

 $\overline{M} > 10^6$ faserig

Molmasseverteilung

• da einzelne Makromoleküle unterschiedlich lang: Molmasseverteilung

Polymer ist molekularuneinheitlich, deshalb Mittelwertbildung M

verschiedene Mittelwertbildungen möglich, je nachdem, ob die zu messende Göße von der Anzahl der Moleküle in den einzelnen Größenklassen oder von ihrer Masse abhängt

Zahlenmittel der Molmasse

$$\overline{M}_{n} = \frac{\sum m_{i}}{\sum n_{i}} = \frac{\sum n_{i} \cdot M_{i}}{\sum n_{i}}$$

i Fraktion

m_i Masseanteil einer Fraktion eines bestimmten Polymerisationsgrades

M_i Molmasse der jeweiligen Fraktion

n_i Anzahl der Moleküle einer Fraktion

Massemittel der Molmasse

$$\overline{M}_{\mathbf{W}} = \frac{\sum \mathbf{m}_{i} \cdot \mathbf{M}_{i}}{\sum \mathbf{m}_{i}} = \frac{\sum \mathbf{n}_{i} \cdot \mathbf{M}_{i}^{2}}{\sum \mathbf{n}_{i} \cdot \mathbf{M}_{i}}$$

Viskositätsmittel der Molmasse

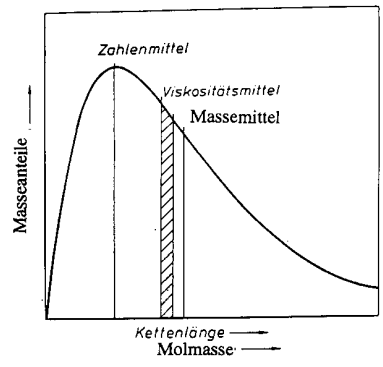
$$\overline{M}_{V} = \left(\frac{\sum m_{i} \cdot M_{i}^{\alpha + 1}}{\sum m_{i}}\right)^{1/\alpha}$$

experimentell aus Viskositätszahl $[\eta]$ der Lösung zugänglich

[η] = k · $\overline{M}^α$ Mark-Houwink-Beziehung k,α Konstanten für gegebenes Polymer-LM-System

$$[\eta] \equiv \lim_{c \to 0} \frac{1}{c} \frac{\eta_L - \eta_{LM}}{\eta_{LM}}$$

 η_L ...Viskosität der Lösung η_{LM} ...Viskosität des Lösungsmittels



Molmassenverteilung eines Polymeren mit Angabe der Lage verschiedener Mittelwertangaben

völlig einheitliches (monodisperses) Polymer: $\overline{M}_n = \overline{M}_w = \overline{M}_v$

<u>polydisperse Polymere</u>: $\overline{M}_W > \overline{M}_V > \overline{M}_N$

• rel. einheitliches Polymer
$$\frac{\overline{M}_W}{\overline{M}_D}$$

• uneinheitliches Polymer
$$\frac{\overline{\overline{M}}_W}{\overline{\overline{M}}_{n}}>>1$$

Uneinheitlichkeit

$$U = \frac{\overline{M}_w}{\overline{\overline{M}}_n} - 1$$

- Uneinheitlichkeit beinflußt im starken Maße die Eigenschaften der Polymerwerkstoffe
- Molmasseverteilung hängt besonders von Polymerisationsart ab
 - ionische Polymerisation

→ meist enge Verteilung

- radikalische Polymerisation
- → breite Verteilung
- Beeinflussung im Reaktionsprozeß durch Änderung der Monomerkonzentration, der Aktivatoren - Konzentration, T, p, c des gebildeten Polymeren, c von Beimengungen

Einfluß der Uneinheitlichkeit der Molmasse $\left(\overline{M}_W \, / \, \overline{M}_N \, \right)$ auf Verarbeitung und Eigenschaften

$1 < \overline{M}_W / \overline{M}_N$		$\overline{M}_W / \overline{M}_n \rightarrow 1$
Einfluß auf Verarbeitung		Einfluß auf Festigkeit
Spritzgießen	Extrudieren	
verlängerte Zykluszeit	Schmelzebruch später,	möglichst enge Verteilung
durch langsame Ab-	da kurze Kettenmoleküle	ergibt bessere
kühlung infolge		Stoßfestigkeit (kurze
schlechter Kristalli-sation	stärkeres Schwellen	Kettenmoleküle führen
(Wärmeleitung)	durch lange	zum Reißen)
	Kettenmoleküle	

(nach G. Menges)

enge Molmasseverteilung →

höhere Gleichmäßigkeit der Kennwerte engerer Erweichungsbereich geringere Spannungsrißempfindlichkeit bessere Chemikalienbeständigkeit

breitere Molmasseverteilung

→ Vorteile bei Verarbeitung (niedermolekularer Anteil = Gleitmittel, Weichmacher) geringere Sprödigkeit

Kristallinitätsgrad erniedrigt (Störung des gleichmäßigen Aufbaus)

Beispiel zur Mittelwertbildung:

Steinhaufen A Steinhaufen B

 500 Steine á 1kg
 = 500kg
 400 Steine á 1kg
 = 400kg

 2 Steine á 250kg
 = 500kg
 100 Steine á 6kg
 = 600kg

 Totalgewicht
 = 1000kg
 Totalgewicht
 = 1000kg

Zahlenmittel: A
$$M_n = \frac{\sum_{i} w_i}{\sum_{i} n_i} = \frac{1000}{502} = \frac{1,99}{502}$$

B
$$M_n = \frac{\sum_i w_i}{\sum_i n_i} = \frac{1000}{500} = \underline{2,0}$$

Gewichtsmittel: A
$$M_{w} = \frac{\sum_{i} w_{i} M_{i}}{\sum_{i} w_{i}} = \frac{500 \cdot 1 + 500 \cdot 250}{1000} = \underline{125,5}$$

B
$$M_w = \frac{\sum_{i} w_i M_i}{\sum_{i} w_i} = \frac{400 \cdot 1 + 600 \cdot 6}{1000} = \underline{4}$$

Uneinheitlichkeit:

A
$$U = \frac{125,5}{1,99} - 1 = \underline{62}$$

B
$$U = \frac{4,0}{2,0} - 1 = \underline{1}$$

Messung der Molmasse

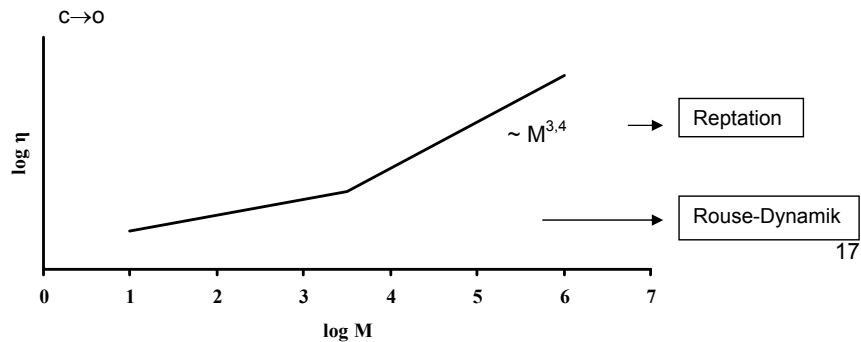
- gebräuchlichste Methode: Bestimmung über Viskosität von verdünnten Lösungen
- Vorteil: durch Messung im gleichen LM bei unterschiedlichen Konzentrationen können Wechselwirkungseffekte durch Extrapolation eliminiert werden
- unlösliche oder schlechtlösliche Thermoplaste: Bestimmung des Schmelzindex
- Kapillarviskosimeter

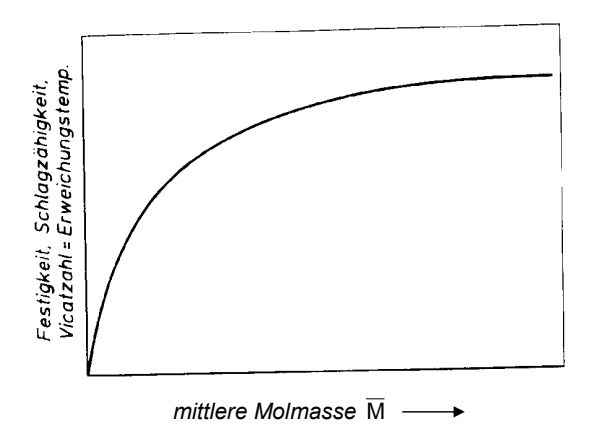
$$\eta_{\mathit{SP}} = \frac{t_L}{t_{LM}} - 1$$
 spezifische Viskosität

$$\frac{\eta_{\mathit{SP}}}{c} = \eta_{\mathit{red}}.$$
 reduzierte Viskosität

Extrapolation auf $c \rightarrow 0$ (Grenzviskosität)

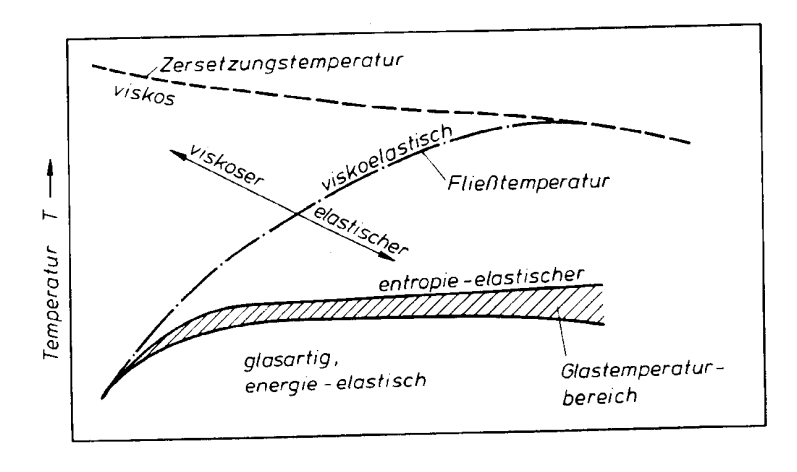
$$\lim(\frac{\eta_{SP}}{c}) = \left[\eta\right] \qquad \left[\eta\right] = k \cdot \overline{M}^{\alpha}$$





a) Einfluß der Molmasse auf physikalische Eigenschaften

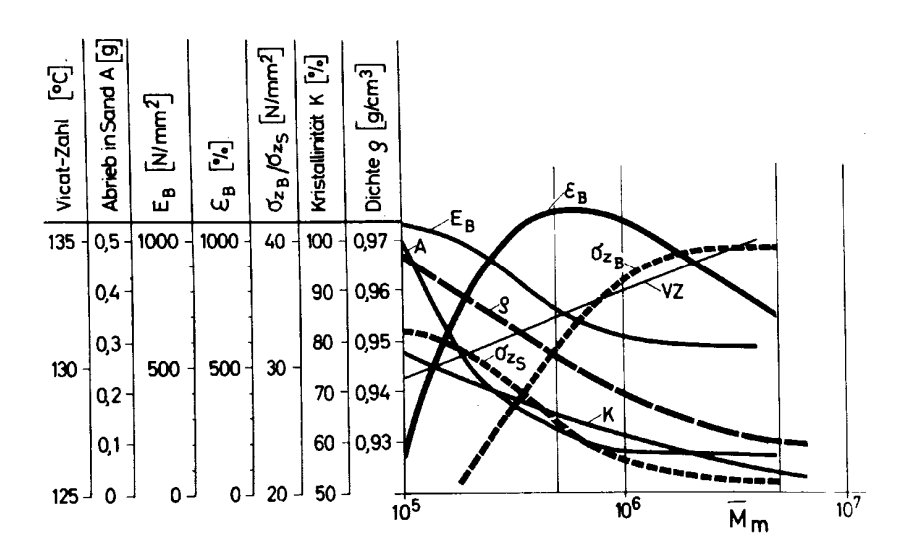
(nach G. Menges)



Molmasse M

→

 Formänderungsverhalten eines amorphen Thermoplasts als Funktion der Molmasse und der Temperatur (nach G. Menges)



Einfluß der Molmasse auf die Eigenschaften von linearem Polyethylen (HDPE)

E_B = Elastizitätsmodul aus dem Biegeversuch

 σ_{zB} = Zugfestigkeit

VZ = Vicat-Zahl

A = Abrieb

 σ_{zS} = Zugspannung bei der Streckgrenze

 ε_{B} = Bruchdehnung

K = Kristallinitätsgrad

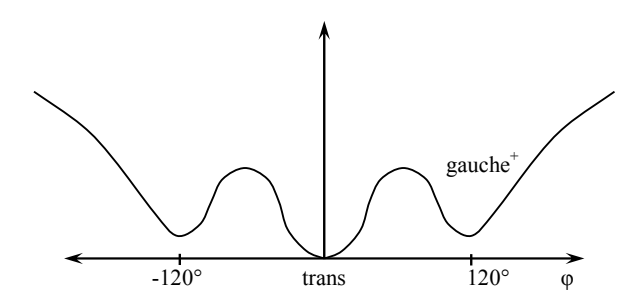
 ρ = Dichte

(nach A.F. Margol)

Grundlagen der Polymerkettenstatistik: Knäuelstruktur flexibler Makromoleküle

- Grundlage der statistischen Mechanik
- Konformationsstatistik
- Makromoleküle in Lösung

- Konformationen und Bindungspotential:



 ϕ ist Winkel, um den die Kette an einer Einfachbindung zwischen zwei C-Atomen aus der trans-Konformation gedreht ist. Dazu ist Energie nötig.

Rotationsisomere:

Wahrscheinlichkeit für einen Zustand

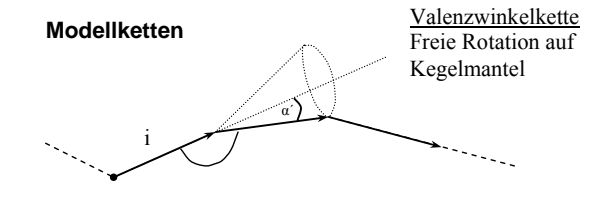
$$w_i \sim \exp\left\{\frac{-E_i}{kT}\right\}$$

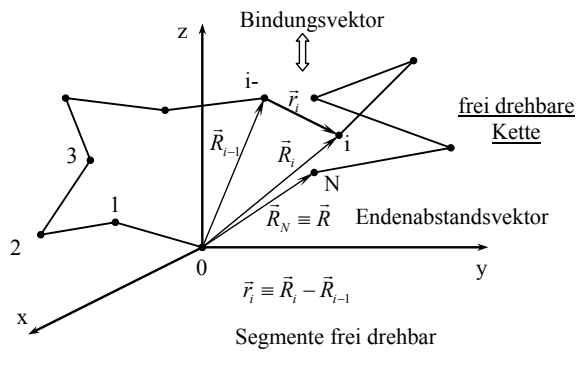
$$k = 1.38 \cdot 10^{-23} J \cdot K^{-1}$$

Boltzmannkonstante

Normierung $\sum w_i = 1$

$$\Rightarrow w_i = \frac{\exp\left\{\frac{-E_i}{kT}\right\}}{\sum \exp\left\{\frac{-E_i}{kT}\right\}}$$





• = z.B. Polyethylen
$$-CH_2-CH_2$$

Ideale Kette (im Lösungsmittel; Flory'sche Θ-Temp.)

Definition: jedes Segment wechselwirkt nur mit unmittelbaren Nachbarn

keine WW mit Lösungsmittelmolekülen

· keine WW mit weiter entfernten Segmenten

Wärmebewegung der Segmente (Stöße mit Lösungsmittelmolekülen)

→ Realisierung unterschiedlicher Konformationen

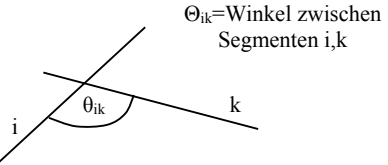
Endenabstandsvektor

$$\langle R \rangle = \sum_{i=1}^{N} \vec{r_i} = 0$$

$$\langle \vec{R} \rangle = 0$$

$$\left\langle \vec{R}^2 \right\rangle = \sum_{i=1}^N \left\langle \vec{r_i}^2 \right\rangle + 2 \sum_{i < j} \left\langle \vec{r_i} \vec{r_j} \right\rangle \quad \left| \vec{r_i} \right| \approx 0,\!15 \text{nm} \qquad \text{ gleich für alle i}$$

$$\left\langle \vec{R}^{2}\right\rangle = N\left\langle \vec{r}^{2}\right\rangle$$
$$|\vec{r}_{i}| \equiv a \quad \forall i$$



$$\vec{r}_i \vec{r}_k = a^2 \cos \theta_{ik}$$

$$\langle \vec{r}_i \vec{r} \rangle_k = a^2 \underbrace{\langle \cos \theta_{ik} \rangle}_{e^{|\vec{r}-\vec{k}|} = e^{-s}}$$

21

Abnahme der Korrelation der Richtungen von zwei ausreichend weit voneinander entfernten Gliedern i und k.

$$\Rightarrow \left| \left\langle \vec{R}^{\,2} \right\rangle \equiv Na^{\,2} \cdot C_{\infty} \right|$$

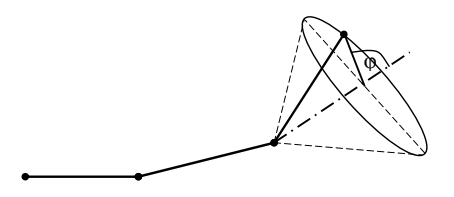
C_m beschreibt Steifigkeit der Kette

a) Valenzwinkelkette:

$$C_{\infty} = \frac{1 + \cos \alpha}{1 - \cos \alpha} = \frac{1 - \cos \alpha}{1 + \cos \alpha}$$
 Eyring

b) Kette mit behinderter innerer Rotation:

âunterschiedlicher Aufenthaltswahrscheinlichkeit auf dem Kegel



$$C_{\infty} = \frac{1 + \cos \alpha}{1 - \cos \alpha} \cdot \frac{1 + \eta}{1 - \eta} = \frac{1 + \cos \alpha}{1 - \cos \alpha} \cdot \sigma^{2}$$

$$\eta = \overline{\cos \varphi} = \int_{-\pi}^{\pi} w(\varphi) \cos \varphi \ d\varphi$$

 $w(\varphi)d\varphi \dots$

Wahrscheinlichkeit, dass Bindung im Intervall ϕ , ϕ +d ϕ auf Kegelmantel

22

- · Konkrete Behandlung im Rotationsisomeren Modell
- · Berücksichtigung zweier aufeinanderfolgender Drehwinkel

c) random-flight-Kette (random-walk)

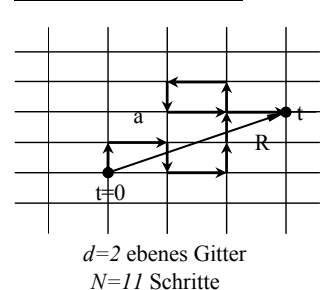
$$\langle \vec{r}_i \vec{r}_k \rangle = 0 \qquad i \neq i$$

$$\langle \vec{r}_i^2 \rangle = a^2 \quad \forall$$

$$\langle \vec{R}^2 \rangle = R^2 = Na^2$$

$$R \sim N^{1/2} \qquad \qquad R = Na^{1/2}$$

Analogie: random walk



 $N \sim t$ (z.B.: 1 Schritt in 1 Sek.)

mittlere quadr. Verschiebung (Diffusion):

$$R^2 = N \cdot a^2 = \alpha \cdot t$$

$$\alpha = 2D_i$$
 $d=1$

$$dD_i$$
 $d=2$

$$\begin{array}{cccc}
6D_i & \dots \\
d=3 & \dots
\end{array}$$

 D_i ...Diffusionskonstante

Bemerkung: $R^2 \sim t^{\kappa}$, $\kappa = 1$ unabhängig von c

Aber: Zufallswanderer auf Fraktal

→ Diffusion behindert (R² wird kleiner)

$$\langle R^2(t)\rangle \equiv R^2 \sim t^{\kappa} = t^{2/d_w} = t^{2/2+\Theta}$$

 $d_w = 2 + \Theta$

Wanderungsdimension

 $\Theta = 0, d_{yy} = 2$: normale Diffusion

 $\Theta > 0, d_{yy} > 2$:

anormale Diffusion

$$d_{w} = d_{w}(d)$$

$$d=1$$
 $d_w=2$

$$d = 2$$
 $d_w = 2,25$

$$d \ge 6 \qquad d_w = 6$$

Wanderung auf Perkolationsmustern

→ Gelbilduna!

Polyethylen $C_{\infty} \approx 7$

Polystyren $C_{\infty} \approx 10$

Polybutadien $C_{\infty} \approx 5$

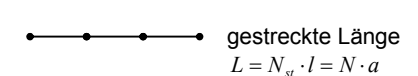
PDMS $C_{\infty} \approx 6$

Das Kuhn sche statistische Segment:

Konstruktion der äquivalenten Kette aus statistischen Segmenten der Länge I und der Zahl N_{st} an statistischen Segmenten

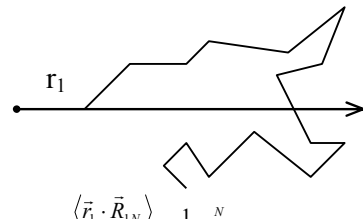
$$l = C_{\infty} \cdot a \quad ; \quad N_{st} = \frac{N}{C_{\infty}}$$

$$\rightarrow Na^2 \cdot C_{\infty} = N_{st} \cdot l^2$$



Persistenzlänge und Porod/Kratky-Kette

Ausdehnung des Makromoleküls in der Richtung, die das erste Monomer angibt. → direktes Maß für die Steifigkeit!



$$l_p = \frac{\left\langle \vec{r}_1 \cdot \vec{R}_{1N} \right\rangle}{a} = \frac{1}{a} \cdot \sum_{i=1}^{N} \left\langle \vec{r}_1 \cdot \vec{r}_i \right\rangle$$

Valenzwinkelkette mit α' sehr klein:

doppelstrangige DNA → relativ steif, Knäuel nur wenn N sehr groß

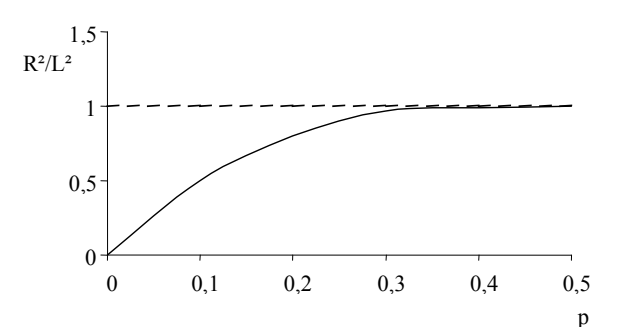
$$\cos \alpha' = 1 - \frac{1}{2}\alpha' + \cdots$$

$$l_p = \frac{a}{1 - \cos \alpha'} \approx \frac{2a}{\alpha'^2}$$

$$\frac{R^2}{L^2} = 2p - \frac{1}{N} - 2p^2 \cdot \left(1 - e^{-\frac{1}{p}}\right)$$

$$p = \frac{l_p}{p}$$
 Por

Porod/Kratky, 1958



1) N groß und relativ flexible "steife Makromoleküle" : p<<1 $\rightarrow R^2 = 2p \cdot L^2 = 2l_p \cdot L$

Kuhn:
$$R^2 = N_s \cdot l_s^2$$

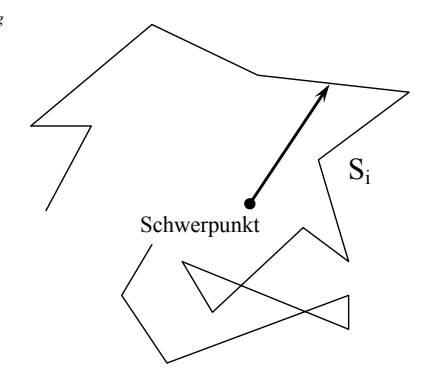
 $L = N_s \cdot l_s$
 $\rightarrow l_s = 2 \cdot l_p$

- - → Persistenzkettenmodell beschreibt Zufallsknäuel, Stäbchenmolekül und Gestalten mit dazwischen liegender Flexibilität.

Gyrationsradius (oder Trägheitsradius)

$$\vec{S}^{\,2} = \frac{1}{N} \sum_{i} \! \left\langle \vec{S}_{i}^{\,2} \right\rangle \! = \! \frac{1}{6} \! \left\langle \vec{R}_{\scriptscriptstyle N}^{\,2} \right\rangle \! S_{i} ... \text{Abstand zum Schwerpunkt}$$

oder oft: $S \equiv R_g$



Verzweigte Ketten:

$${S_{\rm v}}^2 = g \cdot S_{\rm lim}^2$$
 (gleiche Molmassen)

Durchdringung bei dichten polymeren Systemen $(S \approx 1g/cm^3)$

(Flory-Zahl) Flory: Nobelpreis 1972



$$R^{2} = \langle \vec{R}^{2} \rangle = N \cdot a^{2} \cdot C_{\infty}$$
$$R \approx a \cdot C_{\infty}^{1/2} \cdot N^{1/2}$$

Anzahl der Makromoleküle mit Segmenten im Volumen eines speziellen Makromoleküls:

$$N_{\scriptscriptstyle F} = \mu_{\scriptscriptstyle K} \cdot V_{\scriptscriptstyle K}$$

 μ_{K} ...Kettendichte (Zahl der Ketten pro Vol.)

V_K...Knäulvolumen

$$N_F = \frac{\mu_m}{N} \cdot (C_{\infty}^{1/2} \cdot a \cdot N^{1/2})^3$$

$$\mu_{m}$$
...Monomerdichte = $\frac{\rho \cdot N_{A}}{M_{...}}$

M_m...Molmasse der Monomere

$$N_F \cong \underbrace{\mu_m \cdot a^3}_{\text{odd}} \cdot C_{\infty}^{3/2} \cdot N^{1/2}$$

$$N_F \sim N^{1/2}$$
: $\approx 50...100$

→ "Spaghetti-Bild"

Wahrscheinlichkeit für die Realisierung eines Kettenendenabstandes R:

Voraussetzung: N >> 1 (R << Na)

Gauß sche Normalverteilung

$$p_N(R) = \left(\frac{3}{2\pi \cdot N \cdot a^2}\right)^{3/2} \cdot e^{-\frac{3}{2 \cdot N \cdot a^2} \cdot R^2}$$

$$b^2 = \frac{3}{2 \cdot n \cdot a^2}$$

$$p_N(R) = \frac{b^3}{\pi^{3/2}} \cdot e^{-b^2 \cdot R^2}$$

Wahrscheinlichkeit, Kettenende zwischen R und d+dR zu finden



$$\vec{R} = (R_x, R_y, R_z)$$

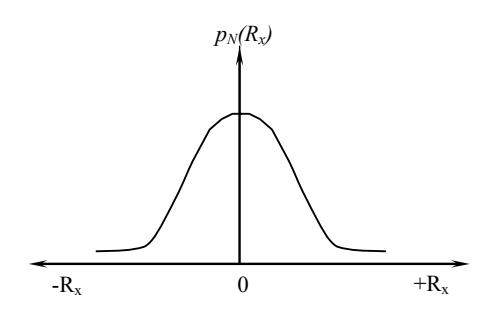
$$p_N(R)dR = \frac{b^3}{\pi^{3/2}} \cdot e^{-b^2(R^2x + R^2y + R^2z)} dR_x dR_y dR_z$$

$$p_N(R)dR = p_N(R_x) \cdot p_N(R_y) \cdot p_N(R_z) \cdot dR_x dR_y dR_z$$

$$p_N(R_x) = \frac{b}{\pi^{1/2}} \cdot e^{-b^2 \cdot R_x^2}$$

: etc.

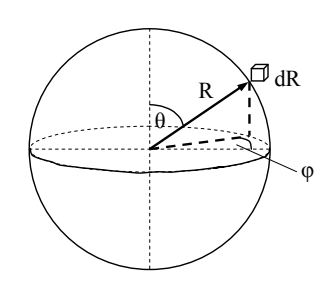
Verteilungsfunktion der Projektion des Vektors R auf die x-Achse usw.



Wahrscheinlichkeitsdichte nimmt Maximalwert bei $R\!=\!0$ an; wenn also beide Kettenenden zusammenfallen.

Das bedeutet aber nicht, dass der wahrscheinlichste Wert des Endenabstandes ${\it R}$ gleich Null ist.

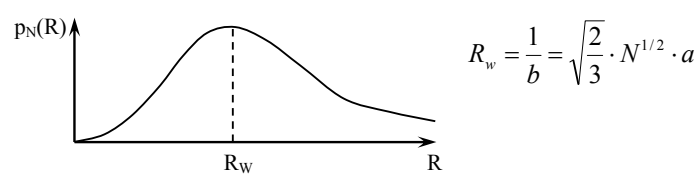
→ Wahrscheinlichkeit, das Betrag des Endenabstandes zwischen R und R+dR:



$$d^{3}\vec{R} = dR_{x}dR_{y}dR_{z}$$
$$= R^{2} \cdot \sin \theta \cdot d\theta d\varphi dR$$
$$R = |\vec{R}|$$

$$p_{N}(R)dR = 4\pi \frac{b^{3}}{\pi^{3/2}} \cdot e^{-b^{2} \cdot R^{2}} \cdot R^{2} dR$$
$$p_{N}(R)dR = 4\pi \frac{b^{3}}{\pi^{3/2}} \cdot e^{-b^{2} \cdot R^{2}} \cdot R^{2} dR$$

wahrscheinlichster Wert:



mittlerer quadratischer Endenabstand:

$$\langle \vec{R}^2 \rangle = \langle R^2 \rangle = \int_0^\infty p_N(R) \cdot R^2 \cdot dR$$
$$= 4\pi \frac{b^3}{\pi^{3/2}} \cdot \int_0^\infty e^{-b^2 \cdot R^2} \cdot R^2 dR$$
$$= \frac{N \cdot a^2}{\sqrt{2}}$$

Eigenschaften des Gauß schen Knäuls:

verdünnte Lösung!





Dichte:

$$\sqrt{\left\langle R^2\right\rangle} = R = N \cdot a^{1/2}$$

Knäuelvolumen: $V_k \sim R^3 = a^3 \cdot N^{3/2}$

Eigenvolumen Segment: v (Perlenkette)

Eigenvolumen Makromolekül: Nv

Volumenbruch (Konzentration) der Segmente im Knäul:

$$\Phi \cong \frac{N \cdot v}{N^{3/2} \cdot a^3} = N^{-1/2} \left(\frac{v}{a^3}\right)$$

$$\Phi \to 0$$
 für $N \to \infty$

Der überwiegende Teil des Knäulvolumens ist mit Lösungsmittel gefüllt und sinkt mit Segmenten der Kette. (kein Kollaps)

• Fluktuationen von R2:

relative mittlere quadratische Funktion einer Größe x:

$$\delta_x \equiv \frac{\left\langle \left(x - \left\langle x \right\rangle \right)^2 \right\rangle}{\left\langle x \right\rangle^2} \qquad \text{hier: } x = \mathbf{R}$$

$$\Rightarrow \delta_{R^2} = \frac{\left\langle \left(\vec{R}^2 - \left\langle \vec{R}^2 \right\rangle \right)^2 \right\rangle}{\left\langle \vec{R}^2 \right\rangle^2} = \frac{\left\langle \vec{R}^4 \right\rangle - \left\langle \vec{R}^2 \right\rangle^2}{\left\langle \vec{R}^2 \right\rangle^2} = \frac{2}{3}$$

$$\left\langle \left(\vec{R}^2\right)^n \right\rangle = \int \left(\vec{R}^2\right)^n \cdot p_N(\vec{R}) \cdot d\vec{R}$$
$$= (N \cdot a^2)^n \cdot \left[1 \cdot 3 \cdot \dots \cdot \frac{(2n+1)}{3^n}\right]$$

Fluktuation von R2 in Größenordnung des Mittelwertes dieser Größe:

$$\delta_{R^2} = \frac{2}{3}$$

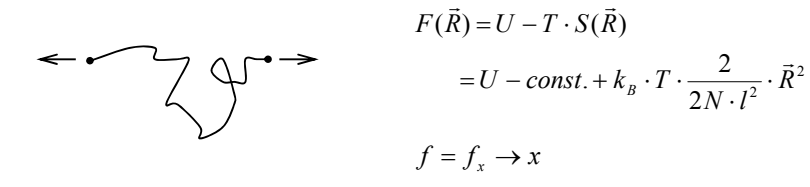
Gauß'sches Knäul → kleine Dichte und große Fluktuationen

Das Hooke sche Gesetz einer idealen Polymerkette

Entropie (Boltzmann-Beziehung) einer einzelnen Kette

$$S = k_B \cdot \ln p_N(\vec{R}) = const. - k_B \cdot \frac{3}{2N \cdot l^2} \cdot \vec{R}^2$$
$$k_B = 1,38 \cdot 10^{-23} \, J \cdot K^{-1}$$

Freie Energie



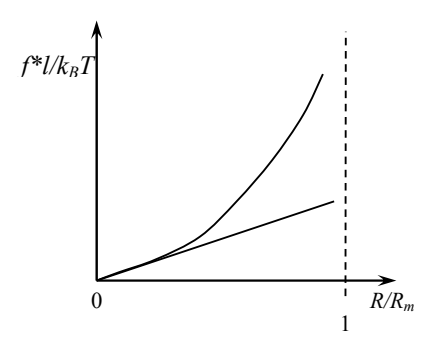
R(R,0,0)

29

$$\frac{\text{Kraft}}{f = \left(\frac{\partial F(R)}{\partial R}\right)_{T}} = \frac{3k_{B} \cdot T}{N \cdot l^{2}} \cdot R$$

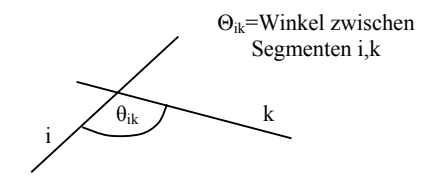
$$f = \frac{3k_{B} \cdot T}{R_{m} \cdot l} \cdot R$$

 $f \sim R$ nur für $R < < R_m$ gültig



Ergänzende Bemerkungen

Kurzreichweitige Wechselwirkungen



Die random-flight-Kette aus statistischen Segmenten

a) Valenzwinkelkette

$$r_i r_k = a^2 \cdot \cos \theta_{ik}$$

$$\langle r_i r_k \rangle = a^2 \underbrace{\langle \cos \theta_{ik} \rangle}_{e^{-|i-k|} = e^{-}}$$

Die Korrelation der Richtungen von zwei ausreichend weit voneinander entfernten Gliedern i und k nimmt wegen der Rotation der dazwischen liegenden Glieder schnell ab. Ab einer gewissen Zahl s gilt $\langle\cos\theta_{ik}\approx0\rangle$.

Je größer s, desto steifer ist die Kette!

$$\begin{split} A_i &\equiv \sum_{k=i+1}^N \left\langle \cos \theta_{ik} \right\rangle \approx \sum_{k=i+1}^{i+s} \left\langle \cos \theta_{ik} \right\rangle \\ A_i &= A \quad \forall i \text{, wenn } N >> s \qquad \text{(kleine Randeffekte)} \end{split}$$

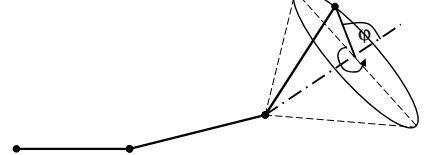
für Valenzwinkelkette (freie Rotation auf Kegelmantel)

$$A = -\frac{\cos \alpha}{1 + \cos \alpha}$$

$$\Rightarrow \langle R^2 \rangle = N \cdot a^2 \cdot \frac{1 - \cos \alpha}{1 + \cos \alpha}$$
 Eyring'sche Formel



$$\langle R^2 \rangle = N \cdot a^2 \cdot \frac{1 - \cos \alpha}{1 + \cos \alpha} \cdot \frac{1 + \eta}{1 - \eta}$$



$$\eta = \overline{\cos \varphi} = \int_{-\pi}^{+\pi} w(\varphi) \cos \varphi \cdot d\varphi$$

 $w(\phi)d\phi$... Wahrscheinlichkeit, dass Bindung im Intervall $\phi, \phi + d\phi$ auf Kegelmantel

c) Das Kuhn'sche statistische Segment

Konstitution der äquivalenten Kette durch Definition einer random-flight-Kette aus statistischen Segmenten.

$$\left\langle R^{2}\right\rangle =N_{st}\cdot l^{2}$$
 und $R_{m}=N_{st}\cdot l$

$$\Rightarrow N_{st}=\frac{R_{m}^{2}}{\left\langle R^{2}\right\rangle },\qquad \underline{l}=\frac{\left\langle R^{2}\right\rangle }{R_{m}}$$

Bsp.: Vinylpolymere, z.B.: PE

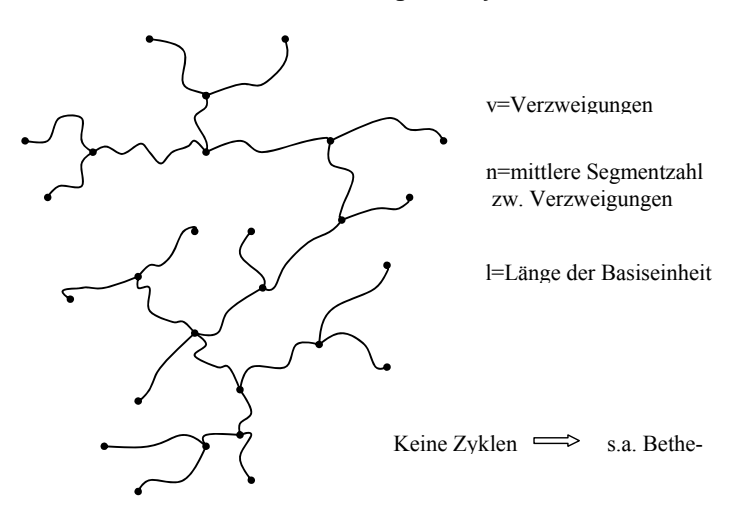


$$R_m = N \cdot a \cdot \sin(\alpha/2) = 0.82 \cdot N \cdot a$$

$$\left\langle R^2 \right\rangle = N \cdot a^2 \cdot \frac{1 - \cos \alpha}{1 + \cos \alpha} \cdot \sigma^2$$

$$N_{st} = \frac{N}{2\sigma^2} (1 + \cos \alpha); \qquad l = 2a \cdot \frac{\sin(\alpha/2)}{1 + \cos \alpha} \sigma^2$$

2. Modell der stochastisch verzweigten Polymere



Gyrationsradius eines Makromoleküls

 $R_{\rm g}^2$: mittlerer quadratischer Abstand der N Segmente (Streuzentren!) vom Schwerpunkt.



$$R_g^2 = \frac{1}{N} \sum_{i=1}^{N} \left\langle w_i^2 \right\rangle$$

$$R_{\rm g} \cong 100...200\,{\rm \AA}$$
 für gewöhnliche Polymere

Gauß'sches Knäul

$$R_g^2 = \frac{1}{6}R^2$$
 R^2 ...mitlleres Endenabstandsquadrat

"Nichtlineares" Knäul

Zimm, Stockmayer 1949

$$R_g^2 \sim N^{1/2} \mu^{1/2} \cdot l^2$$

 $R_{\rm g}\sim N^{1/4}$, d.h. Größe des Mokromoleküls nimmt mit wachsender Segmentzahl langsamer zu als linares Molekül

Dichte der Segmente im Knäul (Volumenbruch)

$$\Phi \sim \frac{N \cdot v}{R^3} \sim \frac{N \cdot v}{N^{3/4} \mu^{3/4} \cdot l^3}$$

$$\Phi \sim N^{1/4} \cdot \mu^{-3/4} \cdot l^{-3}$$

$$\Phi \rightarrow \infty$$
 für $N \rightarrow \infty$

Nichtphysikalisches Resultat!

Modell muss ausgeschlossene Volumenwechselwirkungen berücksichtigen. Diese sind immer da, da Seitenarme nicht "ausweichen" können.

3. Makromoleküle mit ausgeschlossenen Volumeneffekten (excluded volume)

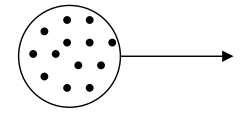
Gauß'sches Knäul (ideales Knäul)

$$R \sim l \cdot N^{1/2}$$

$$\Phi = \frac{N \cdot v}{R^3} = \frac{N \cdot v}{N^{1/2} \cdot a^3} = N^{-1/2} \cdot \frac{v}{a^3}$$

 $N \uparrow \rightarrow \Phi \downarrow \rightarrow$ Zahl der Stöße zwischen Segmenten kleiner

$$\Phi \sim N^{-1/2} \cdot \left(\frac{v}{l^3}\right)$$



Abzählen der Stöße:

- · 2er Stöße (Paarwechselwirkung):
 - N...Teilchenzahl
 - Ф...Wahrscheinlichkeit einen Partner zu finden
- $\rightarrow N_2 \sim N \cdot \Phi$
- · 3er Stöße:

$$\rightarrow N_3 \sim N \cdot \Phi^2$$

p-er Stöße

$$\rightarrow N_p \sim N \cdot \Phi^{p-1} \sim N \cdot N^{\frac{-(p-1)}{2}} \cdot \left(\frac{v}{l^3}\right)^{p-1}$$

$$N_{p} \sim N^{(3-p)/2} \cdot (v/l^{3})^{p-1}$$

→ "Mehrfach-Stöße" sehr unrealistisch

 $N_n << 1$ $N_3 \sim 1$

für p>3

 $N_2 \sim N^{1/2}$

aber noch N₂<<N

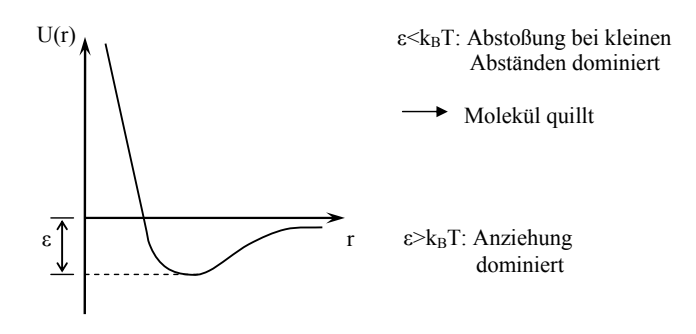
Trotzdem:

Paarwechselwirkungen führen zu beträchlichen Änderungen in den

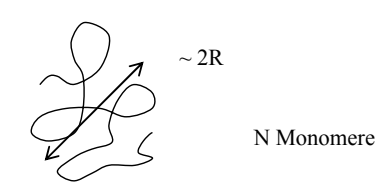
physikalischen Eigenschaften eines Makromoleküls!

z.B.: zu sehen beim Modul, der ~1/N

Wechselwirkung zweier Monomereinheiten als Fkt. ihres Abstandes r:



Makromolekül im Lösungsmittel



c sei lokale Monomerkonzentration (Monom. pro Volumeneinheit) c(w)

• Freie Energie der Wechselwirkung

$$F_{WW} = V \cdot \underbrace{k_B T \cdot (B \cdot c^2 + C \cdot c^3 + \dots)}_{\text{freie Energiedic hte}}$$

c ersetzen durch mittl. Konzentration $\Phi \sim N/R^3$ (= Molekularfeldnäherung, od. mean-field-approximation)

 $c(w) \xrightarrow{ersetzen} \langle c^2 \rangle^{1/2}$ genauer:

B...zweiter Virialkoeffizient

C...dritter Virialkoeffizient

$$B\cong rac{1}{2} v(T), \ v(T)= \left(1-2\chi(T)\right)\cdot l^3$$
 χ "chi"...Flory-Huggins-Parameter $B=0$ für $\chi=1/2$, d.h. $T=\theta$ (Flory-Temp.)

→ Kompensation von anziehenden und abstoßenden Wechselwirkungen komplett möglich, da 3er-Stöße, usw. verschwindend gering sind.

Gesamte freie Energiebilanz (Flory-Konzept) eines Knäuls:

gutes Lösungsmittel \rightarrow Gleichgewicht zwischen Aufquellen u. entropieelastischer Rückstellung

$$F \rightarrow \min$$

$$F = F_{elast} + F_{ww}$$

$$F \cong k_B T \cdot \left\{ \frac{R^2}{N \cdot l^2} + v \cdot R^3 \cdot \Phi^2 \right\}$$

 $N \cdot l^2 = R_0^2$ ideale Moleküldimension

$$F \cong k_B T \cdot \left\{ \frac{R^2}{N \cdot l^2} + v \cdot R^3 \cdot \left(\frac{N}{R^3}\right)^2 \right\}$$

$$F \cong k_B T \cdot \left\{ \frac{R^2}{N \cdot l^2} + \nu \cdot \frac{N^2}{R^3} \right\}$$

$$dF/dR = 0 \rightarrow R \cong \left(\frac{3}{2}v \cdot l^2\right)^{\frac{1}{4}} \cdot N^{3/5}$$

oder:
$$R \sim N^{3/5}$$
 $3/5 > \frac{5/2}{5} = \frac{1}{2}$ $N \sim R^{5/3}$ $R \sim N^{\nu}$ $\nu = \frac{3}{5} = 0,6$ universeller Flory-Exponent $\nu = 0,588$ Renomierungsgruppentechnik

Einschub:

$$R \sim N^{v}$$
 in d-Dimensionen: $\beta = 1/k_{B}T$
$$\beta \cdot F = \frac{R^{2}}{N \cdot a^{2}} + v \cdot \frac{N^{2}}{R^{d}}$$

$$F \rightarrow \min \qquad dF/dR = 0$$

$$\Rightarrow R \sim N^{\nu}, \qquad \nu = \frac{3}{d+2}$$

$$N \sim R^{d_f}, \qquad d_f = 1/\nu = \frac{d+2}{3}$$

$$R \to R_0 = a \cdot N^{1/2} \ f \ddot{u} r \ d \ge 4 \equiv d_{\scriptscriptstyle UCD}$$
 "Upper Critical Dimension"

$$\beta \cdot F \sim \left(\frac{R}{R_0}\right)^2 + v \cdot N^{\frac{4-d}{d+2}} \qquad N^{\frac{4-d}{d+2}} \to 0 \text{ für } N \to \infty \quad und \quad d > 4$$

$$\frac{N^2}{N^{v \cdot d}} = \frac{N^2}{N^{\frac{3d}{d} + 2}} = N^{2 - \frac{3d}{d + 2}} = N^{\frac{4 - d}{d + 2}}$$

negativer zweiter Virialkoeffizient (= schlechtes Lösungsmittel)

Knäul kollabiert wegen Anziehung zwischen Monomeren → anziehender Term in F in Balance mit 3. Virialterm (v_R>0)

$$\frac{F}{k_B T} \cong v_2 \cdot R^3 \cdot \left(\frac{N}{R^3}\right)^2 + v_3 \cdot R^3 \cdot \left(\frac{N}{R^3}\right)^2$$

Minimalisierung:

$$R \cong \left(\frac{v_3}{|v_2|}\right)^{1/3} \cdot N^{\nu}, \quad \nu = 1/3$$

Kompakter Globulit, da Monomerdichte im Globulit $\sim N \, / \, R^3$ unabhängig von der Kettenlänge wird.

Übermolekulare Strukturen und Zustände

Nebenvalenzbindungen/zwischenmolekulare Kräfte

bewirken Zusammenhalt der Makromoleküle elektrostatischer Natur

Maßgebend für

mechanisch-thermisches Verhalten Kristallitbildung Löslichkeit, Quellbarkeit Erweichungsbereich (Breite)

Dispersionskräfte

- · allgemein in Materie wirkende Anziehungskräfte
- durch Elektronenbewegung in benachbarten unpolaren Makromolekülen induziert; bei unpolaren Polymerwerkstoffen einzige Nebenvalenzbindungen (PE, PS, BR); niedrige Schmelz-temperatur
- Bindungsenergie < 10 kJ/mol

$$W_{an} \sim \frac{1}{r^6}$$
 r = Abstand benachbarter Moleküle

- gehören zu van-der-Waalschen Kräften
- besonders hoch bei dichter Packung (kristalline Bereiche, hohe Festigkeit im hochverstreckten Zustand)
- · Abnahme durch Erwärmung
 - Aufnahme von Fremdmolekülen (LM, H₂O, Weichmacher)

- Dipolkräfte

 unsymmetrische Verteilung der Bindungselektronen zwischen den verbundenen Atomen (unterschiedliche Elektronegativität; permanenter Dipol) stark ausgeprägt bei Elementen starker Elektronegativität: O, F, Cl

$$\begin{array}{ccc}
\underline{PVC} & \Rightarrow & \delta^{+} & \delta^{-} \\
 & \Rightarrow & C - CI & \Rightarrow & C - CI
\end{array}$$

$$\begin{array}{cccc}
 & \delta^{+} & \delta^{-} \\
 & \delta^{-} & \delta^{-} \\
 & & \delta$$

$$-CH_2-\overset{\delta^+}{\overset{\delta^-}{\underset{N}{\longleftarrow}}}\overset{\delta^-}{\underset{N}{\longleftarrow}}$$

polare Gruppen führen zur gegenseitigen Anziehung (geringere Löslichkeit, höhere Erweichungstemperatur); stark polare LM erforderlich

$$W_{Dip} \sim \frac{1}{r^4}$$

• induzierter Dipol:

durch Einwirkung von polaren Gruppen in polarisierbaren Nachbarmolekülen induziert

Wasserstoffbrücken

- H-Atom als Brücke zwischen einem elektronegativen Atom, an das es kovalent gebunden ist, und einem ebenfalls elektronegativen Atom eines Nachbarmoleküls
- führt zur Verringerung des Molekülabstandes
- in Polymeren mit O-, N-, F-Atomen; insbesondere zwischen OH-Gruppen und O-Atomen
- Ursache für besondere mechanische und chemische Eigenschaften bei einigen Polymeren (Cellulose, Polyamide): hohe Schmelz- bzw. Erweichungstemperaturen, hohe Zähigkeit

- Ionenbindung

z. B. in lonomeren wirkt analog H-Brücken; Verarbeitbarkeit bei hohen Temperaturen

- Stärke der Nebenvalenzbindungen

Hauptvalenzbindungen
 Dispersionskräfte
 (schwächste Nebenvalenzbindung)
 Wasserstoffbrückenbindung
 (stärkste Nebenvalenzbindung)

Ca. 20
 kJ mol⁻¹
kJ mol⁻¹

 1...2 Zehnerpotenzen kleinere Bindungsenergie als bei Hauptvalenzbindungen;
 können durch die bei T-Erhöhung zunehmende Wärmebewegung leicht

überwunden werden.

· Eigenschaftsbestimmend bei

Thermoplasten Nebenvalenzbindungen

Elastomeren Anteil von Haupt- und Nebenvalenzbindungen

Duroplasten Hauptvalenzbindungen

Hauptvalenzbindungen bleiben bei Verarbeitung erhalten, bis Zersetzung eintritt

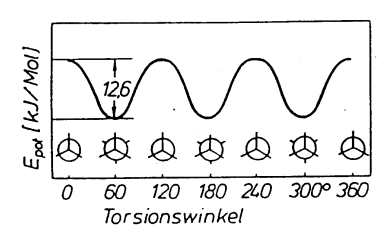
Allgemeine Strukturbetrachtung

Um C-C -Achse nur leichtbegrenzte freie Drehbarkeit bei Polyolefinen:

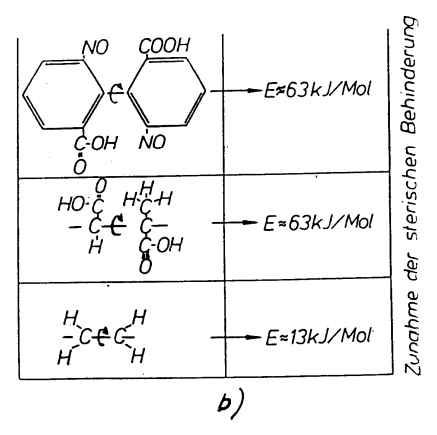
- energetisch am günstigsten: H-Atome auf Lücke
- drei um 120° versetzte energiearme Stellungen
- Drehbarkeit um Bindungsachse verantwortlich für Steifigkeit des Polymeren Ketten mit Heteroatomen (z. B. -C-O-C-) besonders leicht drehbar Ketten mit Ringen besonders steif (höhere Wärmefestigkeit)
- wenn keine ordnenden Kräfte einwirken (Schmelze, Lösung) statistisch wahrscheinlichste Form der Kette:

Knäuelstruktur

 Rotation stark von sterischen Behinderungen abhängig (Substituenten, Verzweigungen) → mechanisch-thermisches Verhalten (Höhe der Einfrier- und Schmelztemperatur)







Beweglichkeit um die Hauptvalenzachse bei organischen Molekülen

(nach G. Menges)

- Verlauf der potentiellen Energie bei der inneren Rotation eines Ethanmoleküls als Funktion des Torsionswinkels
- b) Energie der Rotation um die C-Bindung
- Kristallisation nur bei regelmäßigem Molekülaufbau (dichteste Packung, Dispersionskräfte stark):
 - Kopf-Schwanz-Kopf-Schwanz-Konfiguration
 - Stereoregularität (regelmäßige Anordnung der Substituenten im dreidimensionalen Raum)

PP → Helix (eine Drehung über 3 Monomereinheiten, 3,-Helix)

möglichst wenig und kurze Verzweigungen

gut kristallisieren (zu ca. 70 %):

PE-HD

POM
$$-CH_2-O-CH_2-O-CH_2-$$

teilkristalline Polymere haben höhere Zähigkeit (Nebeneinander von harten kristallinen und weichen amorphen Phasen)

Einschränkung der Kristallisation durch unregelmäßigen Aufbau:

PE-LD (Kristallinität ca. 35 %)

oder durch Copolymerisation mit anderen Monomeren EPM E/P-Cp. bei 30 % Propylen völlig amorph

Einfriertemperatur (Glastemperatur)

sie steigt bei amorphen Thermoplasten mit der Erhöhung von

- sterischer Behinderung
- Nebenvalenzkräften
- Regelmäßigkeit des Kettenaufbaus

starke sterische Behinderung bei PS, PMMA \rightarrow gewöhnlich amorph, hart, spröde (glasklar)

- innere Weichmachung, wenn anstelle von sperrigen Substituenten lange Paraffinseitenketten: PE-LD
- besonders steife Ketten bei Leiterpolymeren und Polymeren mit Ringstrukturen in Hauptkette

Polyimide = Leiterpolymere (besonders hohe Erweichungstemperatur)

bei Leiterpolymeren Formgebung an Präpolymeren, dann durch Tempern Aufbau der Leiter

bei hocharomatischen Polymeren Verarbeitung oft erst möglich, wenn aliphatische Brücken oder Heteroatome (wie O) eingebaut

Verhalten in Schmelzen und Lösungen

unvernetzte Polymere:

Knäuelgestalt

(mit Ausnahme von LC-Polymeren)

thermodynamisches Kriterium für Entstehen einer Lösung:

 ΔG_m wird negativ

$$\Delta G_m = \Delta H_m - T \cdot \Delta S_m$$

Löslichkeitsparameter δ nach Hildebrand

(aus Kohäsionseigenschaften des Lösungsmittels)

$$\frac{\Delta H_m}{V} = \Delta h_m = f_1 \cdot f_2 \cdot (\delta_1 - \delta_2)$$

$$f_1, f_2$$

Volumenanteile der beiden Stoffe

$$\delta = \sqrt{\frac{E_{Koh\ddot{a}s}}{V}}$$

Löslichkeitsparameter (Kohäsionsenergiedichte)

bei
$$h_m \leq 0$$

tritt Lösung ein, d. h. $\delta_1 \leq \delta_2$

$$E_{Koh\ddot{a}S} = E_d + E_p + E_h$$

d Dispersions-

p polare

p polare h WasserstoffbrückenNebenvalenzkräfte

Abkühlen von Thermoplast-Schmelzen

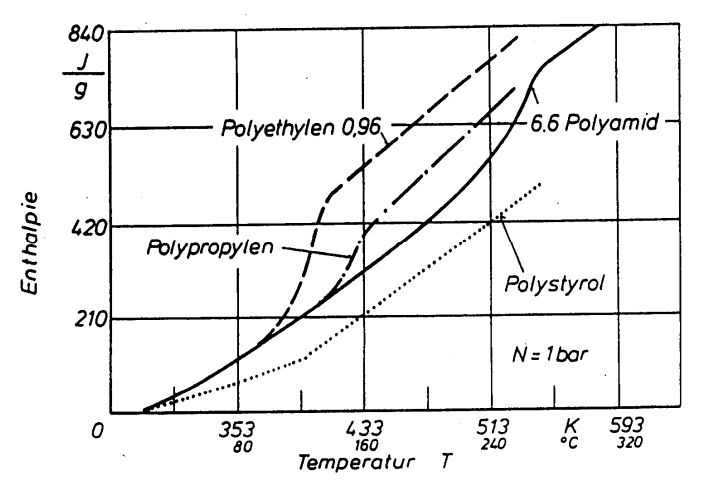
- nicht kristallisationsfähige Thermoplaste

- Zunahme der Viskosität, zunehmend dichtere Packung, segmentweises Einfrieren, zunehmende Versteifung
- völliges Erstarren bei Einfriertemperatur T_{ET} bzw. Glastemperatur T_g → harter, spröder Körper

besser: Einfriertemperaturbereich

 oberhalb und unterhalb von T_g: linearer Zusammenhang zwischen T und V (Vorteil f
ür Fertigung!);

Glastemperatur aus Schnittpunkt der beiden Geraden bestimmbar

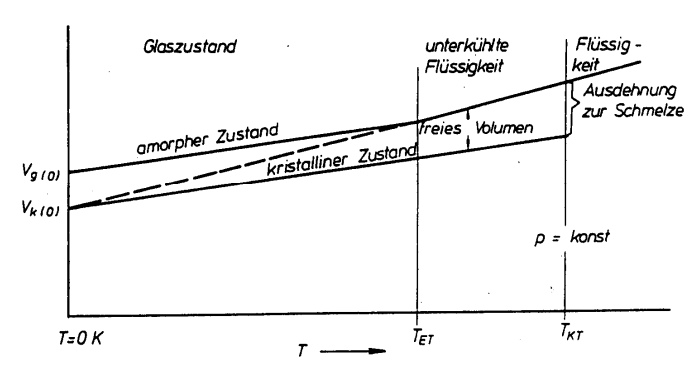


Wärmeinhalt als Funktion der Temperatur bei verschiedenen Thermoplasten (nach G. Menges)

kristallisationsfähige Thermoplaste

- schon weit oberhalb der Einfriertemperatur nehmen einzelne Segmente höchste Packungsdichte an → Beginn der Kristallisation bei Kristallisations-Temperatur T_{KT}; Temperaturhaltebereich durch Freiwerden der Kristallisationswärme
- T_{KT} gewöhnlich nicht identisch mit Kristallitschmelztemperatur T_m;
 beide stark von Abkühl- bzw. Aufheizgeschwindigkeit abhängig (eigentlich Bereiche)
- Kristallisationsgrad bei meisten teilkristallinen Thermoplasten 30 ... 70 %
- infolge der noch nicht eingefrorenen amorphen Anteile ist Körper zäh

 in Schmelze <u>freies Volumen</u> (Leerstellen), das Molekülbeweg-lichkeit erlaubt und von T abhängt



Wärme-Volumen-Ausdehnungsmodell für Thermoplaste

(nach Simha und Boyer)

Bei Einfrieren der Molekül- und Segmentbeweglichkeit Glaszustand (bei $T_{\rm Q}$);

Einfrieren des freien Volumens bei Tq in amorphen Bereichen

- · Druckabhängigkeit des spezifischen Volumens
- eingefrorenes freies Volumen steigt mit Abkühlgeschwindigkeit;
 Werkstoff weniger spröde wegen höherer Molekülbeweglichkeit;
 Diffusion von Gasen und Flüssigkeiten erhöht; stärkere Maßänderungen
- <u>Tempern</u>

Abbau des eingefrorenen freien Volumens

Spritzgießen von Thermoplasten:

teilkristalline Thermoplaste ungünstiger als amorphe:

Abführung der Kristallisationswärme;

größere Volumenänderung bedingt längere Nachdruckzeiten und größere Schwindung;

durch schnelles Abkühlen kann Kristallisation weitgehend unterdrückt werden, jedoch allmählich Nachkristallisation sowie weiterer Schwund und Verzug

Kristallisieren

• "Embryo": günstige Position von Kettenabschnitten für weitere Kristallisation

Keimbildung

$$G = V \cdot G_{\mathcal{C}} + O \cdot \sigma_{\mathcal{S}}$$

G freie Keimbildungsenthalpie (muß niedrig sein)

G_c freie Kristallisationsenthalpie pro Volumeneinheit (negativ)

 σ_{S} Oberflächenspannung (positiv)

V Volumen des Keims

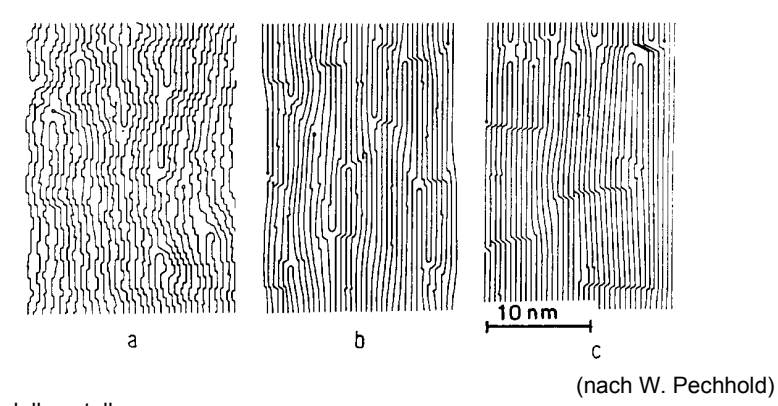
O Oberfläche des Keims

im Anfangsstadium dominiert σ_{S}

G durchläuft Maximum (Maximum an Instabilität des Keims bei kritischer Keimgröße K_{krit})

Keim beinhaltet Teile eines Makromoleküls oder mehrerer benachbarter Makromoleküle (als Nahordnung in Schmelze vorgebildet)

bei Kristallisation wird geringe Oberfläche angestrebt (z. B. Würfel), Konzentration an Kinken nimmt stark ab.

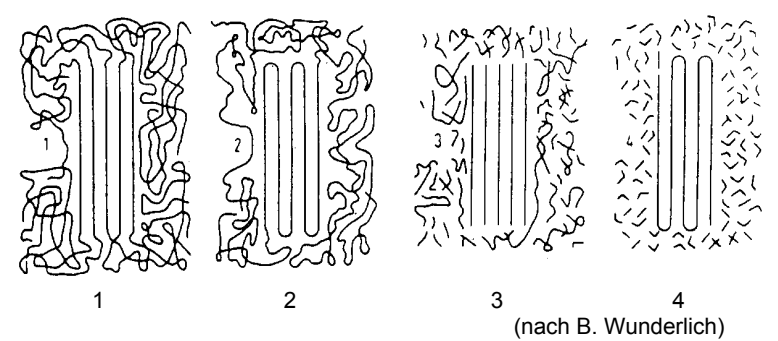


Modellvorstellung:

Nahordnungen in der Schmelze (a) und größere geordnete Bereiche (Parallellagerungen) unterhalb der Kristallisationstemperatur (b) und bei tiefen Temperaturen (c)

Keimbildungs-Modelle:

- 1. Fransenmizellenkeim (intermolekular)
- 2. Faltkeim (innermolekular)
- 3. Oligomerkeim (intermolekular)
- 4. Einzelmolekülkeim (innermolekular)



- zu 1. Kaltkristallisation, bei höherer T instabil
- zu 2. bei höherer T: aus Abschnitt eines Makromoleküls
- zu 3. bei Polymerisation
- zu 4. bei Polymerisation, selten

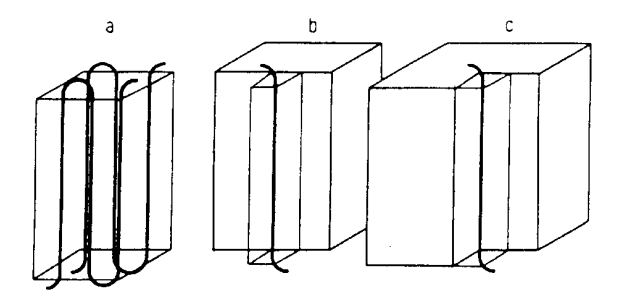
Keimbildungstypen:

- a) Primärkeim, homogene Keimbildung
- b) Sekundärkeim

an Oberflächen

c) Tertiärkeim

(heterogene Keimbildung)

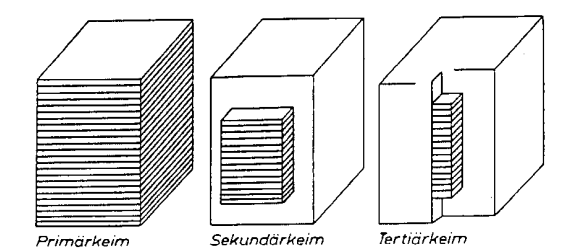


(nach Wunderlich)

45

Keimbildungstypen

- a) Primärkeim
- b) Sekundärkeim
- c) Tertiärkeim



Arten von Kristallkeimen

Oberflächen können Keimbildner oder Kristallisationsbeschleuniger sein (anorganische kristalline Substanzen → feines Kristallitgefüge)

athermische Keime

in realen Schmelzen Verunreinigungen oder nicht aufgeschmolzene Kristalle (heterogene Keimbildung)

thermische Keime

Keime werden erst durch Wärmebewegungen gebildet (Embryonen); unterhalb T_K entstehen aus Embryonen stabile Keime, deren Zahl temperaturabhängig, Wachstumsgeschwindigkeit hat Maximum

homogene Keimbildung

thermisch oder athermisch in reiner Polymerschmelze (kommt kaum vor)

heterogene Keimbildung

gewöhnlich Verunreinigungen (Verarbeitungshilfsmittel, Farbstoffe, Füllstoffe) vorhanden; Bildungsenthalpie und Keimbildungsarbeit für Keime an Gefäßwand oder Verunreinigung geringer; thermisch oder athermisch

Eigenkeime

nicht völlig aufgeschmolzene Kristallite

optimale Keimbildungstemperatur:

ausreichende Beweglichkeit der Moleküle Stabilität der Keime und Kristallite noch gegeben

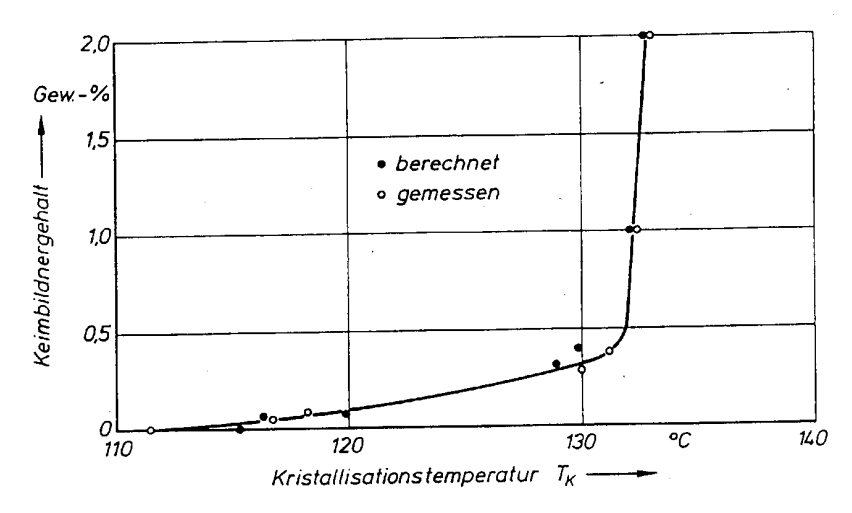
Keimbildungsgeschwindigkeit nimmt mit zunehmender Schmelzetemperatur zu. (homogene Keimbildung)

Nukleierung:

PE kristallisiert 100 x schneller als isotakt. PP; deshalb bei PP <u>Nukleierungsmittel:</u>

Verarbeitungshilfsmittel Farbstoffe, Füllstoffe Flüssigkeiten, Gase Metallsalze org. Säuren

Beispiel PP: Keimbildner mit polarer Gruppe Natriumbenzoat



Einfluß des Keimbildnergehaltes auf die Kristallisationstemperatur von Polypropylen (nach Beyer)

"tie-Moleküle":

Zusammenhalt zwischen geordneten Strukturbereichen über ungeordnete Molekülbrücken;

Verbindung geordneter oder kristalliner Bereiche untereinander; Ursache für Memory-Effekt kalt verstreckter Thermoplaste

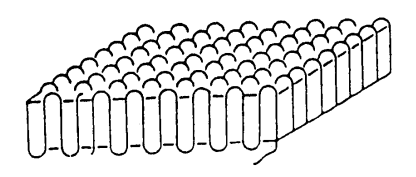
Maßnahmen zur

- Erhöhung der Kristallinität: gleichmäßige, symmetrische Molekülstruktur geringere Molmasse langsames Abkühlen der Schmelze Keimbildner mechanisches Verstrecken
- Verringerung der Kristallinität: große Seitengruppen Verzweigungen höhere Molmasse Vernetzung Fremdmoleküle

Kristalline Überstrukturen

Faltungen, Lamellen

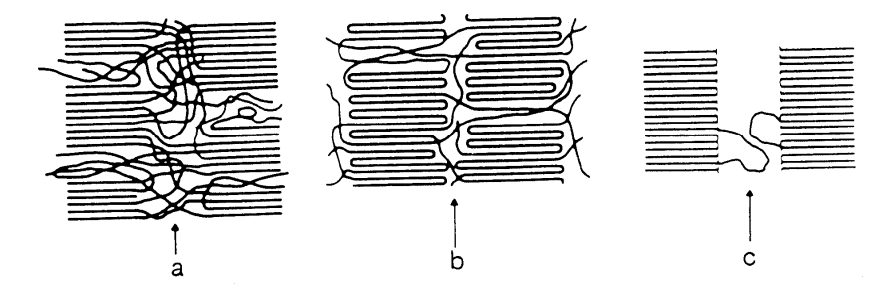
kristallisationsfähige Makromoleküle falten sich bevorzugt zu lamellenförmigen Einkristallen (Faltungsblöcke)



Schematische Darstellung eines Polymer-Einkristalls oder Faltungsblocks (nach Williams)

kristalliner Anteil der Faltungsblöcke 80 ... 85 %, Rest Faltungsbögen und Verschlaufungen an Grenzschicht und Defekte im Kristallinneren (Kettenenden, Kinken)

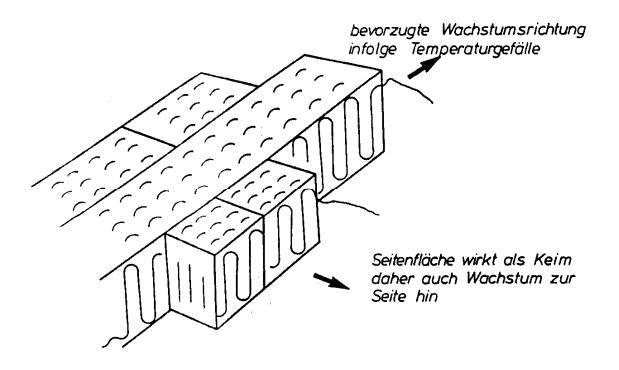
PE: amorphe Grenzschicht mit rauchender HNO₃ entfernbar; kristallines Material sehr spröde, für hohe Zähigkeit amorphe Bereiche notwendig



Modelle für nichtkristalline Bereiche zwischen den Kristalliten

(nach Zachmann)

senkrecht zu den Ketten Wachstum durch Anlagerung von gefalteten oder gestreckten Ketten zu Lamellen (ca. 10 bis 100 nm dick), die sich zu Lamellenpaketen zusammenlagern

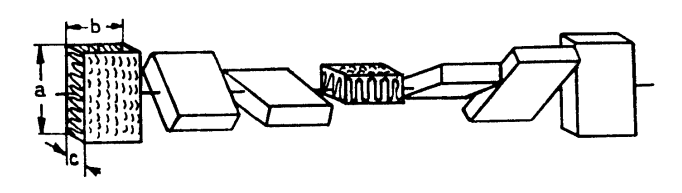


Mechanismus der Lamellenbildung bei der Kristallisation

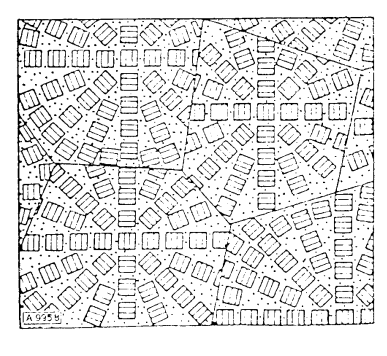
(nach G. Menges)

Sphärolithe

Meist ordnen sich Faltungsblöcke beim Abkühlen aus der Schmelze zu polyedrischen Einheiten, den Sphärolithen. zentralsymmetrische Überstrukturen mit meist tangential zum Radius angeordneten Makromolekülen;
Durchmesser bis 0,1 mm



Schraubenförmige Anordnung der gefalteten kristallinen Bereiche im Sphärolith (nach Y. Fujiwara



Schematische Darstellung des Aufbaus eines Sphäroliths mit ebener Anordnung der gefalteten kristallinen Bereiche

(nach H.G. Zachmann)

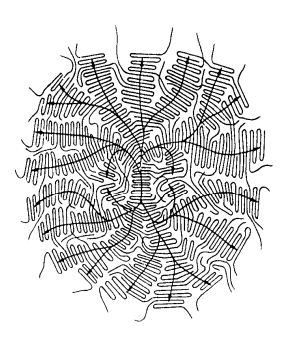
kristalline Bereiche radial angeordnet,

Beobachtung mit Mikroskop mit polarisiertem Licht (Malteserkreuz),

Grenzflächen zw. Sphärolithen können Strukturschwachstellen sein.

Garbenförmige Sphärolithe

Die vom Zentrum ausgehenden Faltungen verzweigen vielfach, wenn sie radial nach außen wachsen.





Garbenförmiger Sphärolith aus Polyamid (PA)

(nach G.W. Ehrenstein)

links: Schema rechts: Bruchfläche

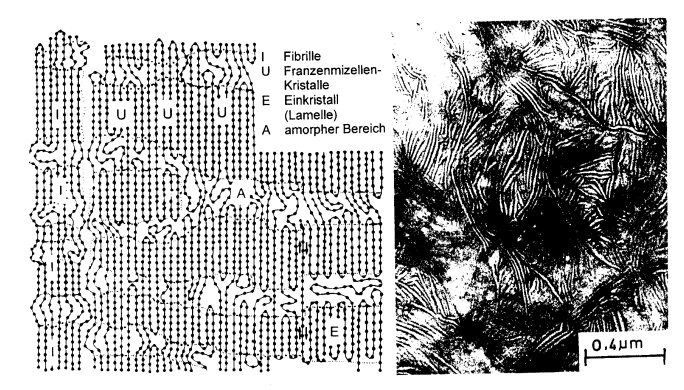
(Elektronenmikroskopische Aufnahme eines Abdrucks)

Shish-Kebab-(Schaschlik)-Strukturen; Whisker

Überstrukturen in bei der Kristallisation gescherten Schmelzen

Entstehen, wenn erstarrende Schmelze einer Scherung unterworfen; seitliches Ankristallisieren von Faltungsblöcken an Fibrillen (Whisker) → Shish-Kebab-Struktur (Stab + runde Plättchen), ferner Whisker-Strukturen

- Realkristalle



Lamellenstruktur in teilkristallinen Thermoplasten

links: Modell für verschiedene Kristallitanordnungen

rechts: Anordnung der Lamellen von gepreßten HDPE-Proben, kristalline Bereiche sind hell, amorphe dunkel, Kontrastierung in Chlorsulfonsäure und Uranylacetat, Lamellendicke ungefähr 25 nm, Kristallinitätsgrad = 80 %, $\overline{\rm M}_{\rm m} = 3 \cdot 10^5$ (Ultradünnschnitt)

(nach G.W. Ehrenstein)

<u>Bei Verarbeitung</u> durch Spritzguß an Randzonen hohe amorphe Anteile und kleine Sphärolithe, im Inneren größere kristalline Strukturen.

Schwindungsvorgänge rufen zwischen Sphärolithen Zugspannungen hervor, können bei großen Sphärolithen zu Rissen führen, die entweder entlang der Sphärolith-Grenzen oder längs der Sphärolithradien verlaufen.

(Begünstigung der Spannungsrißbildung, Senkung der Schlagzähigkeit)